

Computing Voronoi Diagram of line segments and points

——计算几何实验终期报告

来煜坤 杨旻 陈默

2003.12

目录

1. 问题背景	3
2. 算法及原理	3
3. 系统设计 & 数据结构	6
4. 测试、对比结果	7
5. 实现过程中遇到的问题及解决对策	10
6. 没有解决的问题	11
参考文献	11

1. 问题背景

Voronoi 图 (Voronoi Diagram, 简称 VD) 是计算几何领域的一个重要问题, 它有着很强的现实意义。人们从实际问题中抽象出 Voronoi 分配模型 (Voronoi Assignment Model): 在这一模型下, 对于整个区域内的一个基点集合, 每个点都会分配给距离它最近的那个基点。从 Voronoi 分配模型可以得到对整个区域的一个子区域划分, 这个划分被称为这一基点集合的 Voronoi 图。

对于构造 Voronoi 图这一通用的几何结构, 可以由不同的条件设置 (包括维数, 基点的性质, 距离基于的几何空间的变化等等) 产生各种问题。其中最基本的, 是欧氏平面上针对点集的 Voronoi 图。在这一问题上, 已有了复杂度达到最优 ($O(n \log n)$ 时间) 的算法, 包括分治算法, Fortune 的平面扫描算法和由此衍生出来的海岸线 (Beachline) 算法。这一基本问题可以从很多方面得到推广: 比如拓展到高维空间, 变换几何空间 (比如采用 Manhattan 几何空间), 以及基点形状的变化。这些都是富有研究意义的。

我们的实验所针对的, 是欧式平面上包括点和直线段的基点集合的 Voronoi 图。从二维平面上点的 Voronoi 图, 我们可以扩展得到这样的定义:

不妨统称平面上的一点或者是一条线段为一个 site, $S = \{p_1, \dots, p_n\}$ 为平面上 n 个 site (点或线段) 所构成的集合。我们将 S 所对应的 Voronoi 图 (记为 $Vor(S)$) 定义为对平面的一个子区域的划分——整个平面被划分成 n 个单元 (Cell), 它们具有这样的性质: 任一点 q 位于 site p_i 对应的单元中, 当且仅当对于对 $\forall p_j \in S, j \neq i$, 都有 $dist(q, p_i) < dist(q, p_j)$ 。记点 p_i 对应的 Voronoi 单元为 $V(p_i)$ 。

其中 $dist(q, p_k), \forall k \in [1, n]$ 定义如下:

<1>若 p_k 为点, 则 $dist(q, p_k)$ 即为两点间的几何距离;

<2>若 p_k 为线段, 则 $dist(q, p_k)$ 为点 q 到 p_k 的最短距离, 即点 q 到 p_k 上各点距离中的最小值。

2. 算法及原理

我们在实验中实现了是 Fortune 在文献[1]中提出了基于 Sweepline 的点和线段的 Voronoi 图生成算法。这个算法的时间复杂度为 $O(n \log n)$, 空间复杂度为 $O(n)$ 。

在描述算法之前, 我们先简单说明算法针对线段所作的处理:

1. 在算法中, 将线段分为三个部分: 两个端点和这条线段本身。两个端点与基点集合中的那些点作同等处理, 但是需要给基点集合中的所有点加上一条性质, 这一性质表明这个点是单独的点, 还是某线段的上端点, 或者某线段的下端点 (所谓线段的上下端点是针对扫描线移动的方向来说的)。这样原来的基点集合就被转化成不同的基点集合。

2. 规定所有的线段或者不相交, 或者只在其端点处相交。实际上对于任意的相交情况只需要做简单的转化, 就可以符合规定。

3. 对于平面上基点集的 Voronoi 图, 某个基点所在的 Cell 实际上是这个基点与其他各个基点划分的各个半平面的交, 即 $V(p_i) = \bigcap_{1 \leq j \leq n, j \neq i} h(p_i, p_j)$ 。两点的半平面分隔线为直线, 因此平面上点的 Voronoi 图中 Cell 的边界是直线或者半直线或者直线段。而点和直线段的 Voronoi 图的情况就不是这么简单了。对于包括点和直线段的基点集合, 两个基点 p, q 的半平面分隔线有如下四种情况 (我们假定 p, q 不完全重合), 参见图 1:

<1> p, q 都是点, 则 B_{pq} 为两点的平分线, 为直线;

<2> p 为直线段 q 的一端, 则 B_{pq} 为过 p 且垂直于 q 的一条直线;

<3> 直线段 q 不经过点 p , 则 B_{pq} 为一条抛物线的一部分;

<4> p, q 为两条直线段, 则 B_{pq} 可能为一点、或一条直线段、或者为空, 取决于 $t_p \cap t_q$ 。

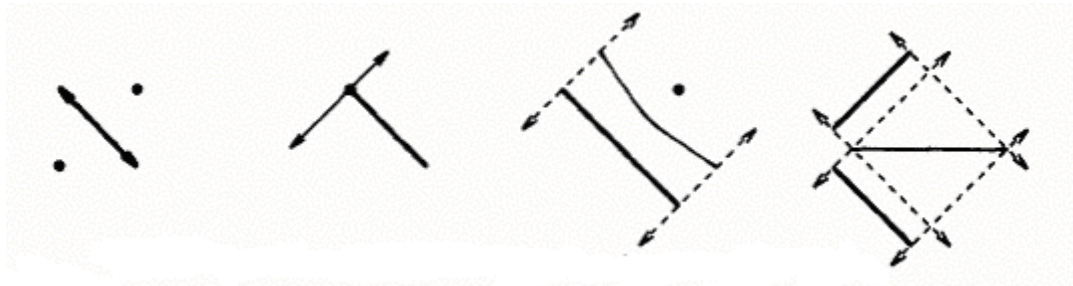


图 1 半平面分隔线的四种情况

因此点和直线段的 Voronoi 图中 Cell 的边界可以由直线或者抛物线的整体或部分。

算法描述

基于 Sweepline 的点和线段的 Voronoi 图的算法(伪代码):

1. 把 Q 初始化为包含所有的基本事件点(点和线段的端点)
2. $p \leftarrow \text{extract_min}(Q)$
3. 处理第一个事件并相应更新 L , 使之包含最初的值
4. while Q is not empty
 - a) $p \leftarrow \text{extract_min}(Q)$, 注意: 同一个平面上的点的多个事件, 同时取出
 - b) 分情况加以处理, 可能修改 L 和 Q
5. 输出结果, 算法结束

说明:

- (1) 第 2.步及第 4a 步中处理时, 同时考虑位置坐标的所有事件。这些事件包括: 顶点, 线段的上、下端点以及 bisector 变换后的像的交点。这是算法实现中所需要的。
- (2) 第 3.步, 初始化的情况下, 也需要同时考虑坐标相同的多个事件。对于第一个事件点, 它可能是这些情况的之一: 顶点, 一条或者多条线段的下端点。处理方法与下面讨论的类似。
- (3) 4b 中包含相当多的情况, 在下面给出。

分类讨论: 需要考虑如下情况的组合。

- a) 单独的顶点 p

找到该点 p 在 L 上所在的区域 R_q^* ,

创建 bisector $B_{p,q}^*$, 在 L 中把 R_q^* 替换为 $R_q^*, c_{p,q}^-, R_p^*, c_{p,q}^+, R_q^*$

把新加入的 $c_{p,q}^{+/-}$ 与周围的边界的交点添加到 Q 中

- b) 两个边界的交点

主要工作: 合并两个区域, 产生新的 bisector, 更新 L , 删除无效的 Q 中的“事件”, 检查新出现的相邻情况, 使用 p 更新顶点和边界的端点

- c) 该点是某一线段的上端点(图 2 中 Case a)

添加新顶点及与它相邻的边的 bisector(图中虚线), 并作必要的 Q 、 L 更新

- d) p 是某一条线段的下端点(图 2 中 Case b)

需要考虑该顶点和所在的线段, 以及该顶点和所在的区域的 bisector

- e) d)的一种退化情形, 与该顶点相邻的边是一条水平边, 需要考虑 p 和相邻的线段; p 和所在区域的 site, 以及相邻的线段和所在区域的 site(注意此时发生非 1-1 映射)(图 2 中 Case c)

- f) 如果 p 是多条线段的下端点, 且位于区域 q 内

需要添加的是任意两相邻线段的 bisector

- g) 如果 p 还是某一条线段的上端点, 那么需要根据角度情况考虑一些特例(图 2 中 Case d)

- h) p 位于多条线段的上端点, 此时, p 位于相应的边界上, 情况与前一种类似, 也是多条线段共点的情形(图 2 中 Case e)

- i) p 位于两个 site q 和 r 的边界上, 它们不全与 p 相邻。这种情况也会出现非 1-1 映射的情形)(图 2 中 Case f)

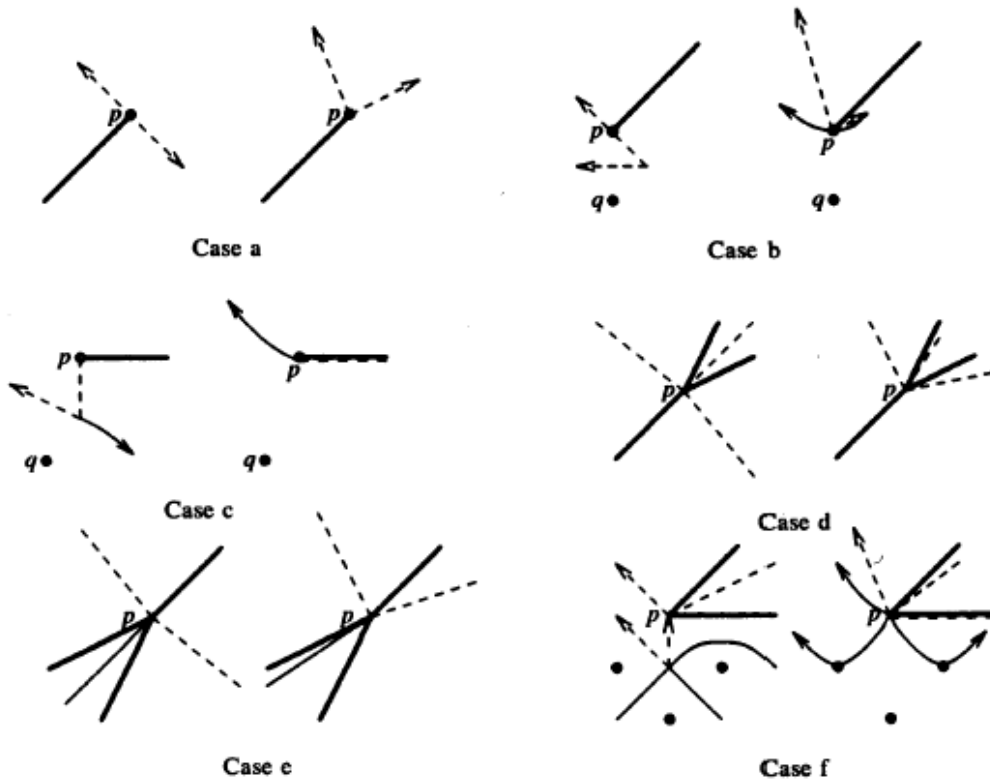


Figure 3.5: Dashed lines indicate bisectors new at p

图 2

上述只是比较典型的情况的一种比较容易讲清楚的顺序。从算法实现来讲，需要不重不漏地分类讨论。可以考虑如下 9 类情形：(a) 只是交点，(b) 只是顶点，(c) 只是(一条或多条)线段的上端点，(d) 只是(一条或多条)线段的下端点 (e) 继是(某条或某些)线段下端点也是(某条或某些)线段上端点 (f)-(i) 类似于(b)-(e)但是落在边界上(包括同时是交点的情形)。各种情形的处理类似于上面的讨论(虽然略有重复处理)，但是至少是不重不漏的。

3. 系统设计 & 数据结构

这里仅讨论计算点集与线段的 Voronoi 图的主要算法的设计与数据结构。

输入：

有限个点和线段构成的集合 S ，为实现统一起见，约定线段视作三部分，即两个端点(视与孤立的顶点相同)以及之间的(开)集。假定线段不在除端点以外的位置相交。注意：这种假定与不作这种假定得到的 Voronoi 图是有少量不同的，而正如 Fortune 的论文中所描述的，不作这种假定会使得结果非常复杂，因此，又是非常必要的。

输出：

集合 S 对应的 Voronoi 图。表示方式为一系列 bisector 的并。这里 bisector 可以是前文

所述的四种情形之一(点-点, 线段-端点, 线段-非端点, 线段-线段)。如果两个端点不受约束, 那么线段-非端点通常的结果是抛物线, 而其它三种情况通常是直线。实际上, 该曲线的两端或者两端之一往往是受限制的(由于与其它 bisector 相交), 在这种情况下, 直线可以变成线段、射线, 而抛物线可以是其中的一部分。

基本数据结构:

参考 Fortune 的论文[1], 从整体上对于变换域而言, 使用的是一种扫描线算法。所以, 它具有扫描线算法所具有的公共的、类似结构。主要包括:

- 事件的优先队列 Q 。通常可以使用堆(Binary Heap)来完成。这个顺序就是事件点在(*)下的像的字典序(先以 y 坐标升序, 相同情况下以 x 坐标为升序)。对于线段来说, 两个端点都作为事件点, 对于点来说, 事件点是它自身, 此外, 两个 Voronoi 边作(*)映射后的交点也作为事件点。
- 扫描线的状态结构 L 。理想情况下, 它需要能够在 $O(\ln N)$ 的复杂性内完成基本的查询和更新操作。可以采用类似于平衡二叉树这样的结构(red-black tree or AVL tree 等)。扫描线 L 包含与当前扫描线(水平线)相交的区域和边界的一种交替。扫描线的相交情况以(*)映射后的像的基础上进行考虑。区域可以由任一 $p \in S$ 表示, 边界则由两个区域 $p, q \in S$ 的 bisector 的形式表示。同时, 通过把它们区分成 $c_{p,q}^+$ 和 $c_{p,q}^-$, 可以使得每一个边界都是 y -单调的, 这个性质可以在大大简化算法的实现。注意 L 上保存的信息是基于(*)映射后的, 而保存和构造的 Voronoi 图的信息则是基于映射之前的。这是因为只有在(*)映射之后, 才能满足扫描线所需要的序关系, 而构造的过程在映射前更方便。

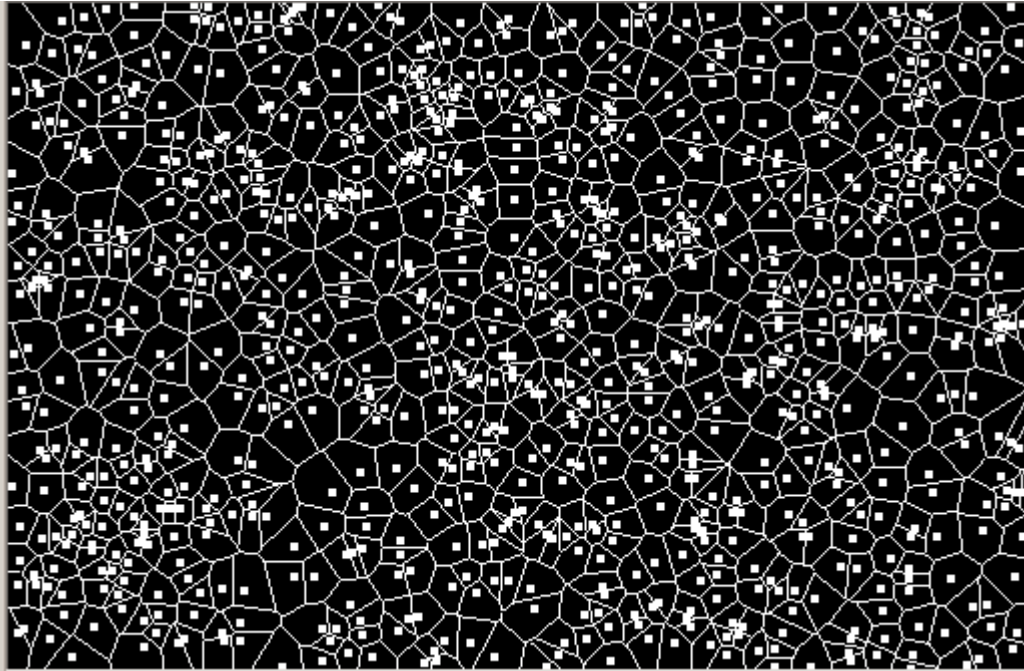
实现细节:

在实际实现时, 有一些变通的方法可以使得算法更容易实现。例如: 虽然从原理上讲, L 应该是区域和边界的交替形式, 但是为了表达上的简洁, 实际上, 只需要存储边界, 如果检索时落在两个边界之间, 那么自然就属于相应的区域。

4. 测试、对比结果

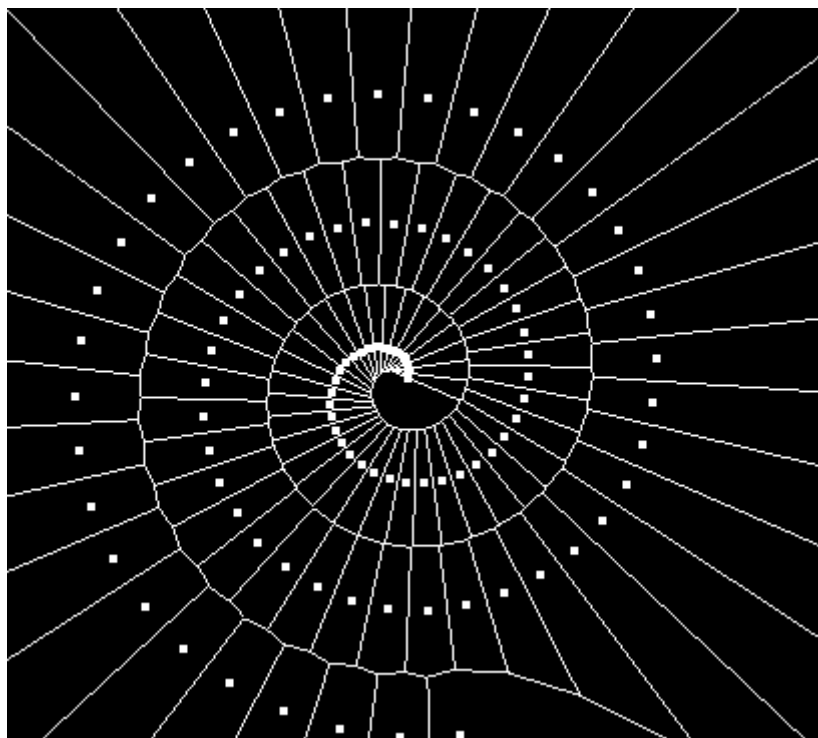
目前比较稳定的只是点集的情形, 在实验提交时的补充文档中会包含线段的结果。

实验结果一: 大量随机点集(1000 个)



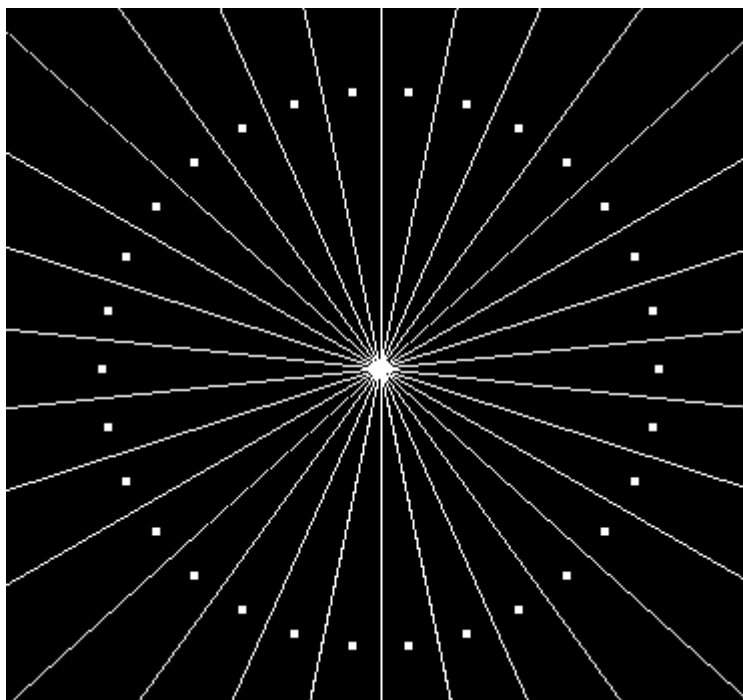
这说明算法比较稳定，而且这个结果能在较短的时间内得到。

实验结果二：阿基米德螺线



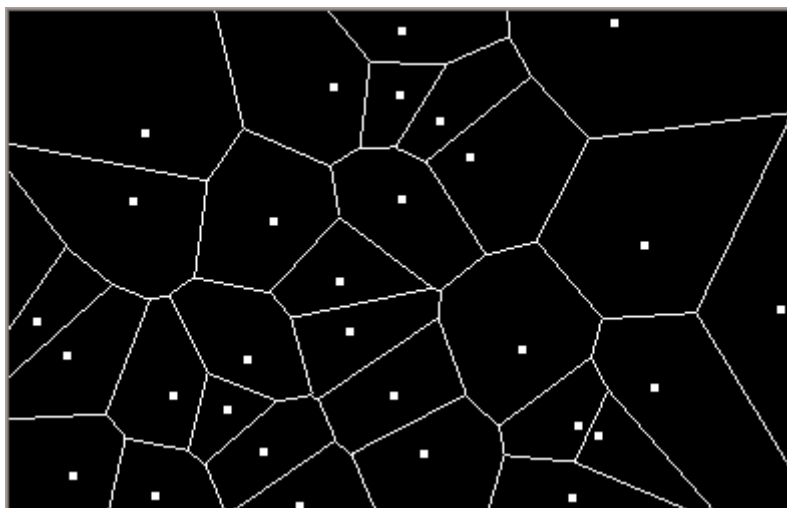
点的分布满足阿基米德螺线，得到的结果既说明了算法的稳定性，同时得到的结果也体现了 Voronoi 图的艺术性。

实验结果三：共圆的高度退化情形



这是一个特殊的高度退化的情形，在这种情况下会发生多点共圆的情形。在通常的情况下是不常见的，但是说明了算法在这种情况下鲁棒性。

实验结果四：动态演示(snapshot)



动态演示说明：

由于屏幕快照只能显示某一帧的情形，下面简述动态演示的效果。每一个点(site)都可以看作具有单位正电荷的小球，它们以一定概率随机地从边界射入(为了防止跳变)，并具有一定的生命期。在运动过程中，任两小球之间的斥力与距离平方成反比。如果两球足够靠近，那么会看到接近于弹性碰撞的情形，如果与边界相遇，则会发生完全弹性碰撞。如果生命期已满，为了使变化平滑，这样的小球并不立即消失，而是在到达边界之后消失(即不弹回)。上述处理类似于图形学中的粒子系统。

在整个变化过程中，都能实时计算并绘制相应的 Voronoi 图，在一定程度上体现了算法

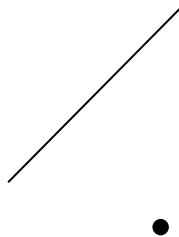
计算的性能。

5. 实现过程中遇到的问题及解决对策

● bisector 及变换后的像的表示

这是本实验中需要仔细处理的、而且也比较繁琐的工作之一。对于变换前的 bisector, 最复杂的情形是点和线段形成的抛物线。与 Beachline 算法中的抛物线不同, 这里的抛物线是一般位置的, 而 Beachline 中的准线总是垂直的, 换言之, 后者的形式要简单得多。

另一个问题是变换后的像的形式表示。由于同时包含抛物线、双曲线和直线(及它们的部分), 因此实现起来复杂且有一定的难度。正如 Steven Fortune 的观察, 总是可以把它们在最低点分成两部分, 每一部分都是 y -单调的, 从而大大简化处理过程。但是严格来讲, Fortune 的论文中的表述并不严格也不全面, 虽然结果是可行的。其中称(p.316)取两个 site 各自的字典序最小点(对于一般位置的线段即最低点), 变换后的像以这个点为分界, x 坐标小于等于它的作为 C^- , x 坐标大于等于它的作为 C^+ 。这种表述并不严格。如顶点在线段下方, 则变换后的抛物线最低点并不经过线段最低点(即使考虑整条抛物线), 分界线也并非线段最低点, 而且抛物线的左单调支的 x 坐标也并不一定小于分界点。但是这种思想仍很有意义, 且除了这种情况外, 一般仍是正确的。更恰当的表述是在变换后曲线的最低点分成两支, 两支都是 y 单调的。其实这种性质就足够了。用解析的方法处理时, 最低点满足根式内为 0, 而左、右支分别是根式前取负、正号。这样就很容易操作了。



● 变换与求交

虽然求交的过程原则上是在变换域中进行, 但是由于变换域后的曲线包括: 线段, 双曲线和抛物线, 两两之间求交包含多达 9 种组合, 而且双曲线、抛物线之间的求交涉及四次方程的求解, 计算量大而实现复杂。在实际实现中, 在变换前计算相应的交点, 计算前仅包括抛物线和线段, 交点相对容易计算, 然后通过变换得到相应的变换后坐标, 这一步也容易实现。之后, 需要检查相应的分支是否一致, 如果不一致, 则是另一分支与之相交, 而这种检查只是一个简单的求值过程。

● 退化情形

退化情形在点集的算法中可以不予特殊处理, 但是每次考虑的只是一个事件, 如果同一坐标的多个事件则分别处理。在这种情形下, 像四点共圆这样的情形, 可以通过引入 0 长度的线段来解决。但是在点和线段的情形下, 同一坐标的多个事件必须同时处理。因此, 退化情形也需要特别处理。实际上上述的(f)-(i)都是某种程度上讲不常见的情形(其中多个线段共

点也可能产生上述情形, 这种情况一般不视作退化)。处理时, 需要对经过该点的已有边界进行限制, 并引入相遇点的 `site` 与最边界的 `site` 之间的新的 `bisector`。如果只是变换域多点一起相交的退化情形, 只要生成最边界的两个 `site` 创建的 `bisector`, 并限制相遇点前的一系列 `bisector`。上述只是某些情况处理的一般原则, 具体到实际实现, 仍有多种情况需要具体分析。

6. 没有解决的问题

线段的情形的实验我们会在提交实验时的补充文档中讨论。

就这个算法基本而言, 并没有过多未解决的问题。整体上而言这个算法还是很精巧的, 虽然有各种情况需要考虑, 但是采用这种方法可以把很多不同情况统一处理(如一般的处理对于所在 `Region` 对应 `Site` 是顶点还是线段可以一致地加以处理等)。如果有效实现, 可以达到 $O(n \log n)$ 的复杂性, 这也是最好的结果了。

主要的没有解决的问题实际上也是 `Fortune` 文中提到的一个重要缺陷是, 这个过程并不是数值稳定的。虽然理论上讲这些算法确实是正确的, 但是一般的实现中浮点数都是有误差的, 特别是要快速地在目前的计算机上实现时更是如此。在这种情况下, 由于算法会把距离远的点映射到距离很近, 此外, 算法还有如何确定两个点重合的问题(如顶点和交点等), 因此误差和浮点数的不精确性使得该算法(如果不采用特殊的精确计算函数库)将无法保证百分之百正确, 这也是这个算法最大的缺陷。实际上, 此后的很多文献特别是 `Voronoi` 工程方面的一些工作的目标就是通过有效的算法和谨慎的实现, 得到快速、稳定的 `Voronoi` 算法, 而这也是非常不容易的。

参考文献

[1] S. J. Fortune. "A sweepline algorithm for Voronoi diagrams", *Algorithmica*, 2:153-174, 1987.